

박판 스프링용 재료의 기계적특성과 굽힘가공성 평가 연구

원시태[#] · 임금호¹

A Study on the Mechanical Properties and Bending Formability Evaluation of the Spring Strip Materials

S. T. Won, K. H. Lim

(Received November 16, 2006)

Abstract

This study examined the mechanical properties and bending formability evaluation of spring strip materials(SK5 CSP-H, STS 301 CSP-EH, C7701-H). The hardness test and tensile test were performed at room temperature(20°C) for mechanical properties. The U-bending test were carried out at various conditions of punch corner radius(R_p), ratio of punch corner radius/thickness(R_p/t) and ratio of clearance/thickness(C/t) for bending formability evaluation.

Key Words : Spring Strip Materials, Mechanical Properties, Bending Formability, Spring Back(degree), Ratio of Punch Corner Radius/Thickness(R_p/t), Ratio of Clearance/Thickness(C/t)

1. 서 론

박판 스프링은 접점, 릴레이, 스위치, 리드&디스차지 밸브 등과 같이 가전제품, 통신기기, 자동차관련 산업에서 광범위하게 사용되고 있으며, 이들 용도의 재료는 산업이 점점 고정밀도, 소형화, 다기능화 및 고속화 되어감에 따라 점점 박판으로 요구되고 있고, 이들 재료는 내피로성, 전기적 특성, 내식성, 가공성 등이 우수해야 하기 때문에 철강재료 중 탄소공구 강대는 내구성이 좋아 산업기기, 자동차, 가전제품의 스프링용도에, 스테인리스 강대는 비자성의 특성 때문에 전기, 전자부품이나 고강도, 내식성이 요구되는 스프링 용도에, 또한 양백, 티타늄동, 인청동 및 베릴륨동과 같은 비철재 동합금은 내식성, 전성, 내 피로성이 우수하여 전자, 통신, 정보, 전기, 계측기기용의 스위치, 커넥터, 릴레이 등의 용도로 사용되고 있다 [1~4].

한편, 판두께 0.05~0.4mm의 박판 스프링재의 경우경도실험, 영율실험, 스프링한계실험, 인장실험, 피로실험 및 크리프 실험에 대한 기계적 특성 값을 조사한 결과 동일한 실험에서도 시험기 및 실험방법이 다르면 약 10%의 실험값의 오차가 발생하고 있음이 보고된 바 있다[5]. 이상과 같이 박판 스프링용 재료의 미소한 품질의 변화는 제품 강도에 큰 영향을 미치고 있고, 또한 특성 평가 방법에 따라서 특성 값의 결과도 상이하게 나타나고 있기 때문에 미국은 SMI(Spring Manufactures Institute), 유럽과 영국은 SRAMA(The Spring Research and Manufactures Association) 및 UKSMI(영국 스프링 공업회)가, 일본은 박판 스프링의 특성 평가 위원회가 구성되어 각종 스프링시험과 관련한 특성평가 방법을 규정하여 사용하고 있다[3,5,6].

한편, 박판 스프링 재료의 성형가공은 블랭킹가공, 굽힘 가공이 대부분이고, 드로잉, 인장 성형등의 기타가공을 일부 행하고 있다. 특히 굽힘 가공성

1. 서울산업대학교 산업대학원 정밀기계공학과
교신저자: 서울산업대학교 금형설계학과,
E-mail:stwon370@snut.ac.kr

의 평가는 피가공재의 가공한계, 스프링 백 및 성형각도 등이 중요한 인자이지만, 가공방법, 모양, 재질에 따라서도 이를 값은 변하는 것으로 알려져 있고, 일본 박판스프링 공동연구 소위원회는 판 두께 0.25mm, 0.5mm를 갖는 각종 박판 스프링 용 재료에 대한 굽힘 가공성 시험에서 90° V 굽힘 실험을 행하고, 편치 선단반경과 판 두께의 비에 대한 스프링 백을 검토하여 박판 스프링용 강대의 굽힘 가공 특성을 발표한 바 있다[7].

또한, 국내의 경우 스프링백에 의한 소재의 성형성 평가를 위해 수행한 연구사례를 살펴보면, 김용환 등은[8] 고강도 TRIP 강판 소재를 V-굽힘 실험에 의해, 신장모, 허영모 등은[9] 두께가 다른 SCP1 강의 용접판재를 U-굽힘 실험을 통해 성형성을 평가한 바 있고, 양동열 등은[10] 박판성형에 서의 스프링해석과, 산업적응용에 대한 연구결과를 발표한바 있다.

한편, 박판 스프링은 전 세계적으로 그 용도가 점차 확대되고 있는 시점에서 국내의 경우는 박판 스프링용 소재를 아직도 일본과 유럽 등 선진 외국에서 수입해서 사용하고 있는 실정이며, 박판 스프링 소재의 국산화 및 사용 환경을 고려한 기계적 특성 및 성형성 평가에 대한 자료가 매우 부족한 실정이다.

따라서 본 연구에서는 박판 스프링 용도로 사용되고 있는 재료 중 냉간 압연 강대인 SK5 CSP-H재와 스테인리스 강대인 STS301 CSP-EH재 및 동합금재료인 양백 C7701-H재의 기계적 특성 및 굽힘성형성 평가 실험을 행하였다.

2. 실험재료 및 실험 방법

2.1 실험재료

본 실험에서 사용한 박판 스프링재료는 박판 스프링 소재로 많이 사용되고 있는 재료중 냉간 압연 후 850°C에서 15분간 유지하고 330°C의 염욕에서 15분간 유지 후, 공냉처리를 한 열처리 강대인 탄소공구 강대(SK5 CSP-H재)와 열간 코일에서 냉간압연을 하여 1150~1160°C에서 고용화 열처리를 한 후, 냉간 조질압연을 통하여 최종 사용 두께를 결정하는 스테인리스 강대(STS301 CSP-EH 재) 및 비철금속 동합금재 재료인 C7701-H재를 선정하였다.

Table 1은 본 실험에서 사용한 재료의 종류 및 화학성분을 나타낸 것이다.

Table 1 Chemical composition of specimen

Specimen	t (mm)	Chemical composition (wt, %)									
		C	Fe	Si	Mn	P	Pb	S	Cu	Ni	Cr
SK5 CSP-H	0.3	0.8~0.9	remain	0.35	0.5	0.03	-	0.03	0.3	-	0.2
	0.5										-
STS301 CSP-EH	0.12	0.15	remain	1.0	2.0	0.045	-	0.03	-	6.0~8.0	16.0~18.0
	0.15										-
C7701-H	0.08	-	0.25	1.0	2.0	0.045	0.1	0.03	54.0 ~58.0	16.5~ 19.5	16.0~18.0
									remain		

2.2 현미경 조직검사

박판 스프링용 소재의 현미경 조직 검사는 SK5 CSP-H재의 경우 5% Nital 부식액을, STS301 CSP-EH재와 C7701-H재의 경우에는 왕수[HCl(3)+HNO₃(1)]용액을 사용하여 부식시킨 후, 주사전자현미경에서 1500배의 배율로 관찰하였다.

2.3 경도시험방법

실험 재료는 0.5m 이하의 박판이므로 경도값의 측정은 시험편을 마운팅 한 후, 미소 비커어스 경도계[Model Future Tech. FM-7]를 사용하여 100g의 시험하중 조건에서 측정회수는 10 회 실시하여 평균값을 구하였다[11].

2.4 인장시험편 및 인장 시험방법

인장시험편의 규격 및 형상은 Fig.1과 같고, 시험편의 동일 규격화를 위하여 금형을 제작하여 프레스에서 블랭킹 가공을 하였다.

인장시험은 전기 유압식 인장시험기[Instron 8516]를 사용하였다.



A=20(mm), B=30(mm), C=7(mm), D=35(mm), E=120(mm)
t=0.08, 0.12, 0.15, 0.3, 0.5(mm)

Fig. 1 Geometry of creep test specimen

2.5 굽힘 실험방법

본 실험에서 적용한 굽힘 시험은 스프링재료의 탄성복원력인 스프링 백을 측정하여 굽힘성형성을 평가하기 위한 것으로 U 형 굽힘 실험을 실시하였다. 특히 U 형 굽힘 실험의 경우 굽힘 실험에 미치는 인자는 소재의 종류와 두께, 편치와 다이 어깨 반경, 다이 어깨 폭, 틈새, 성형 깊이 등을 고려해야 한다[12].

따라서 본 실험에서 사용한 박판 스프링용 재료의 두께(t)는 0.08mm~0.5mm의 범위를 갖기 때문에 이들 두께의 인자를 고려한 U형 굽힘 금형을 제작하여야 한다.

먼저, 다이 어깨반경(Rd)의 기준을 고려하면 다음과 같다[10].

$$Rd \geq 3\sqrt{t} \sim 4\sqrt{t} \quad (1)$$

따라서 본 실험에서 사용한 소재 중 두께가 가장 큰 0.5mm를 고려하면 $Rd \geq 2.83\text{mm}$ 이어야 한다.

한편 편치 어깨반경(Rp)의 경우에도 상기의식을 적용하는 경우와 함께 재료의 특성을 고려한(Rp)의 선정조건은 굽힘선 방향이 압연방향에 직교하는 경우 ($2.0t \sim 4.5t$)를 고려할 수 있는데, 본 실험의 경우 (Rp)는 2.25mm 이상이면 충분한 것으로 고려되고 있다. 한편 본 실험재료의 경우 소재두께(t)가 각각 다르기 때문에, 일정한 틈새량(C)에 의한 각각의 소재별 스프링백의 영향을 비교하는데 문제가 있어서 본 실험에서는 순수 U형 굽힘특성인 틈새비[틈새량/소재두께(C/t)]가 $C/t=1$ 인 경우와, 틈새량이 소재두께보다 작은 아이어닝 가공특성이 고려된 U형 굽힘 조건인 틈새비가 $C/t=0.3$ 인 경우를 중심으로 스프링백 량을 비교 검토하였다[13].

이상과 같이 U굽힘 실험을 위한 금형의 조건을 고려하여 Fig. 2와 같은 U굽힘 금형을 제작하여 실험에 사용하였다. 이 때 금형의 구조는 다이폭(W)은 70mm , 다이어깨 반경(Rd)은 5mm 로 고정하였고, 편치 어깨 반경(Rp)가 스프링 백에 미치는 영향을 고려할 수 있도록 (Rp)는 5mm 와 10mm 의 두 종류로 하였다. 또한, 틈새량(C)은 시험조건에 따라 변화를 줄 수 있도록 제작하였고, 틈새개이지를 사용하여 틈새량을 조절하였다. 이때 굽힘 깊이는 12mm 로 일정하게 하였다.

본 실험에서 사용한 U굽힘 시험편의 규격 및 형상은 Fig. 3과 같고, 시험재료의 압연방향으로 시험편의 동일 규격화를 위해 프레스에서 블랭킹 가공을 하였다. 이때, 시험편의 굽힘선 방향은 압연방향에 직교하도록 하였다.

Table 2는 본 실험에서 사용한 굽힘 실험 조건을 나타낸 것이고, 굽힘 시험은 Fig. 4에서 보는 바와 같은 만능재료시험기에 제작된 U형 굽힘 금형을 장착하여 실험속도는 10mm/min 으로 행하였고, 이때 굽힘 하중과 변위의 관계는 재료시험기와 Interface

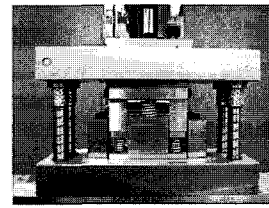


Fig. 2. U-Bending die for experiment

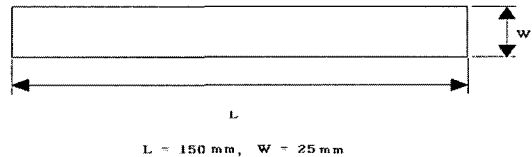


Fig. 3 Geometry of bending testing specimen

Table 2 The conditions of bending test

Specimen	Thickness t (mm)	Depth of bend(l) (mm)	Die Conner radius(Rd) (mm)	Punch Conner radius(Rp) (mm)	Ratio of (Rp/t)	Clearance (C) (mm)	Ratio of C/t		
SK5 CSP-H	0.3	12 (Fixed)	5 (Fixed)	5	16.6	0.09	0.3		
				10	33.3	0.15	0.5		
				5	10.0	0.30	1.0		
				10	20.0	0.09	0.3		
	0.5			5	10.0	0.15	0.3		
				10	20.0	0.5	1.0		
				5	10.0	0.15	0.3		
				10	20.0	0.5	1.0		
STS301 CSP-EH	0.12	12 (Fixed)	5 (Fixed)	5	41.6	0.036	0.3		
				10	83.2	0.12	1.0		
				5	33.3	0.15	1.25		
				10	66.6	0.045	0.3		
	0.15			5	41.6	0.15	1.0		
				10	83.2	0.024	0.3		
				5	41.6	0.15	1.25		
				10	83.2	0.045	0.3		
C7701-H	0.08	12 (Fixed)	5 (Fixed)	5	62.5	0.08	1.0		
				10	125	0.15	1.875		
				5	62.5	0.024	0.3		
				10	125	0.08	1.0		

된 컴퓨터에서 Data가 자동 저장되어 분석할 수 있도록 하였다.

또한 굽힘 시험 후 시험편의 좌우에서 발생하는 스프링백 량은 Fig. 5에서 a점과 b점을 잇는 직선 또는 c점과 d점을 잇는 직선과 b점과 c점을 잇는 직선과의 각도를 측정한 B° 의 각도를 구한 후, B° 의 각도에서 90° 를 뺀 A° 의 각도를 스프링백 량으로 정의하였고, 또한 굽힘 실험 후 시험편에 발생하는 스프링백 량의 측정은 Fig. 6의 공구현미경(Tool microscope QC-4000)을 이용하였다.

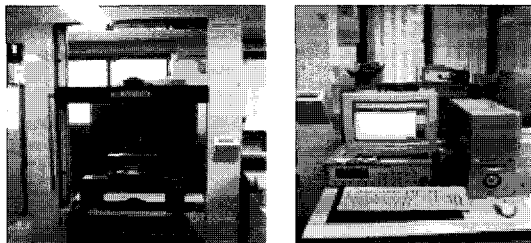


Fig. 4 Universal testing M/C

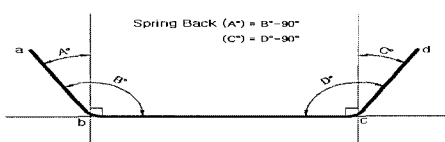


Fig. 5 Measurement of bending testing specimen



Fig. 6 Tool microscope (QC-4000)

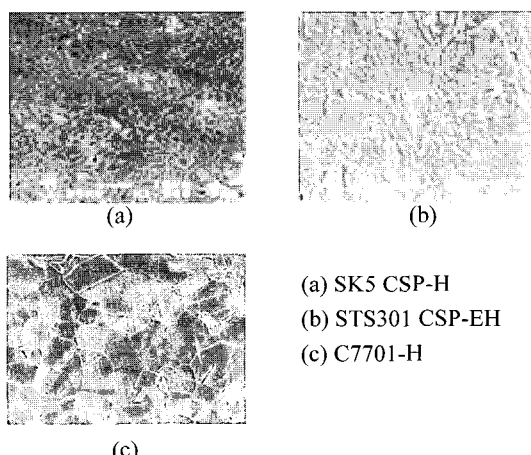


Fig. 7 Micro structure of spring strip materials(1500X)

3. 실험 결과 및 고찰

3.1 현미경 조직사진 결과 및 고찰

Fig. 7(a)는 850°C에서 15분간 가열유지하고, 330°C의 염욕에서 15분간 유지 후, 공냉처리 한 SK5 CSP-H재의 조직사진으로, 텁퍼드-마르텐사이트 기지에 백색 탄화물로 구성되어 있으며, Fig. 7(b)

Table 3 The result of micro-vickers hardness test

Specimen	Thickness(mm)	Hv
SK5CSP-H	0.3	489.4
	0.5	473.9
STS301CSP-EH	0.12	522.5
	0.15	518.1
C7701-H	0.08	210.7

Table 4 The result of tensile test of spring materials

Specimen	Thickness t(mm)	Testing temperature(°C)	Tensile strength (kgf/mm ²)	Yield strength (kgf/mm ²)	Total strain (%)
SK5CSP -H	0.3	R.T	167.5	148.5	7.9
	0.5	R.T	161.5	143.0	8.0
STS301 CSP-EH	0.12	R.T	183.1	181.6	3.0
	0.15	R.T	177.4	176.2	3.4
C7701-H	0.08	R.T	69.4	68.7	2.1

는 STS301 CSP-EH 재의 조직사진으로 오스테나이트 조직이 매우 치밀하고, 집합조직 내에 많은 슬립발생에 의한 쌍성조직을 갖고 있으며, Fig. 7(c)는 C7701-H 재의 조직사진으로 21~29%의 Zn 함유량으로 인해 풀립쌍정이 α 결정입자에 발생한다 결정조직과 슬립밴드가 관찰되고 있다.

3.2 경도실험 및 고찰

Table 3은 SK5 CSP-H재, STS301 CSP-EH재 및 C7701-H재의 경도값(Hv)을 나타낸 것으로 실험결과 SK5 CSP-H재의 경도값은 473.9~489.4으로 KS 규격(KS D 3597)의 담금질과 뜨임 조질 처리된 SK5 CSP-H재의 경도값인 350~600의 범위내[14]에서 나타나고 있다. 또한 STS301 CSP-EH재의 경도값은 518.1~522.5의 범위에서 나타나고 있고, KS 규격(KS D 3534)의 경도값인 490이상의 범위[15]에서 나타나고 있으며, 양백 C7701-H재의 경도값은 210.7으로 KS규격(KS D 5202)의 경도값인 180~240의 범위[4]에서 나타나고 있다.

3.3 인장실험 결과 및 고찰

Table 4는 상온에서의 인장실험 결과 얻어진 인장강도, 항복강도 및 연신율을 정리한 것으로 실험재료중 인장 및 항복강도는 스테인리스강대인 STS 301CSP-EH 재가 가장 크고, 비철계 동합금인 C7701-H 재는 인장 및 항복강도가 실험재료중 가장 낮으면서도 연신율이 2.1%로 가장 낮은 특징을 갖고 있다.

3.4 굽힘실험 결과 및 고찰

Fig. 8은 각각 SK5 CSP-H 재, STS301 CSP-EH 재 및 C7701-H 재의 굽힘 실험 시 나타나는 굽힘 하중과 변위의 관계를 나타낸 것이다. Fig. 9는 굽힘 실험 후 시험편의 형상을 나타낸 것이다.

먼저 편치 어깨반경(R_p)이 굽힘 하중에 미치는 영향을 살펴보기 위하여 Fig. 10(a) 및 (b)는 각각 (R_p)가 5mm와 10mm인 경우, 굽힘 하중과 틈새비(C/t)의 관계를 나타낸 것이다. 실험결과 동일한 두께를 갖는 동일 소재의 경우 굽힘 하중은 (R_p)가 클수록 저하하는 경향을 갖고 있으나, 이 현상은 시편 두께가 작은 재료보다는 0.3~0.5mm로 두께가 큰 SK5 CSP-H재에서 특히 (C/t)가 0.3인 아이어닝 굽힘 시험조건에서 굽힘하중이 현저히 저하하였다. 또한 동일한 (R_p)조건에서도 시편 두께가 큰 SK5 CSP-H재는 (C/t)의 값이 증가할수록 굽힘하중은 현저히 저하하나, 시편 두께가 0.15mm이하인 STS301 CSP-EH재 및 C7701-H재의 경우에는 (C/t)가 0.3에서 1.25 및 1.785로 크게 증가하여도 굽힘하중은 크게 저하하지 않고 있음을 알 수 있었다.

한편, Fig. 11(a) 및 (b)는 각각 편치 어깨반경(R_p)이 5mm 와 10mm 인 경우 스프링백 량과 틈새비(C/t)의 관계를 나타낸 것이다. 실험결과 동일한 두께를 갖는 동일 소재는 (R_p)가 클수록 스프링백 량이 크게 발생하고, 동일한 (R_p)조건에서는 (C/t)가 클수록 스프링백 량은 서서히 증가하고 있다. 또한 스프링백 량은 (R_p)가 큰 경우보다는 작은 경우에서, 소재 두께(t)가 얇은 STS301 CSP-EH 재 및 C7701-H 재가 소재 두께(t)가 상대적으로 큰 SK5CSP-H 재보다 (C/t)가 클수록 스프링백 량은 더욱 크게 증가하고 있다. 실험결과 본 실험재료 중 스프링백 량은 0.5mm 두께를 갖는 SK5 CSP-H 재가 (R_p)가 5mm이고, 틈새비(C/t) 0.3~1.0 조건에서 스프링백 량이 37.9°~38.7°으로 발생하여 굽힘성형성이 가장 우수하였다.

한편 굽힘성형 가공시 스프링백 량이 클수록 굽힘가공 성형성은 바람직하지 않은 것으로 알려져 있다. 따라서 Fig. 12는 본 실험에서 사용한 박판 스프링용 소재에 대한 편치어깨 반경비(R_p/t)와 스프링백 량의 관계를 나타낸 것으로, 동일한 틈새비(C/t)조건에서 이들 소재는 (R_p/t)가 증가할수록 스프링백 량은 증가하여 굽힘가공성이 저하하고 있으며 이들 조건에 따른 스프링백 량과 (R_p/t)의 관계식은 다음과 같다.

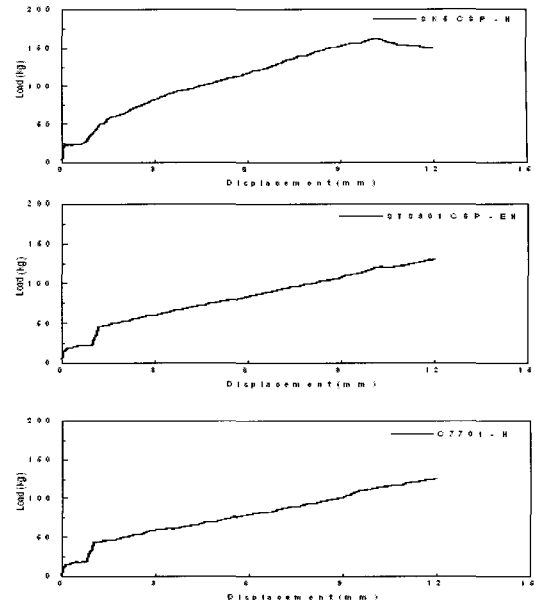


Fig. 8 The relation between bend load and displacement

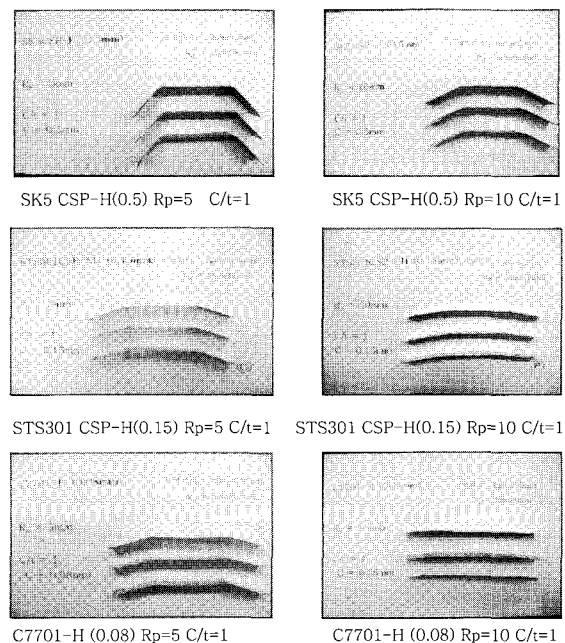


Fig. 9 The shape of specimen after bending test

(1) 틈새비(C/t)가 0.3 인 경우

$$\text{스프링백량} = 46.61 + 0.3747 * (\text{Rp}/t) \quad (2)$$

(2) 틈새비(C/t)가 1.0 인 경우

$$\text{스프링백량} = 51.92 + 0.3583 * (\text{Rp}/t) \quad (3)$$

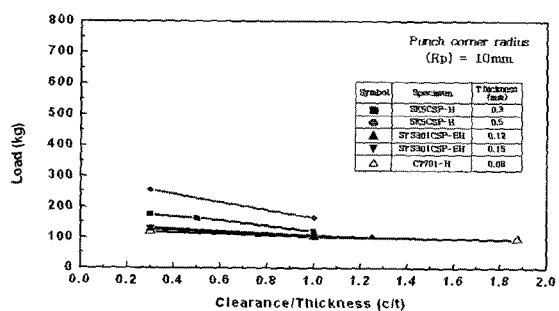
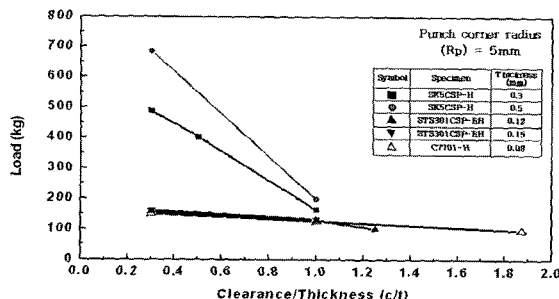


Fig.10 The relation between Bending Load and clearance/thickness(C/t)

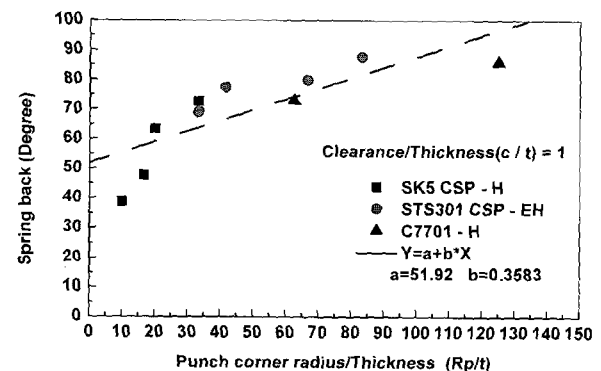
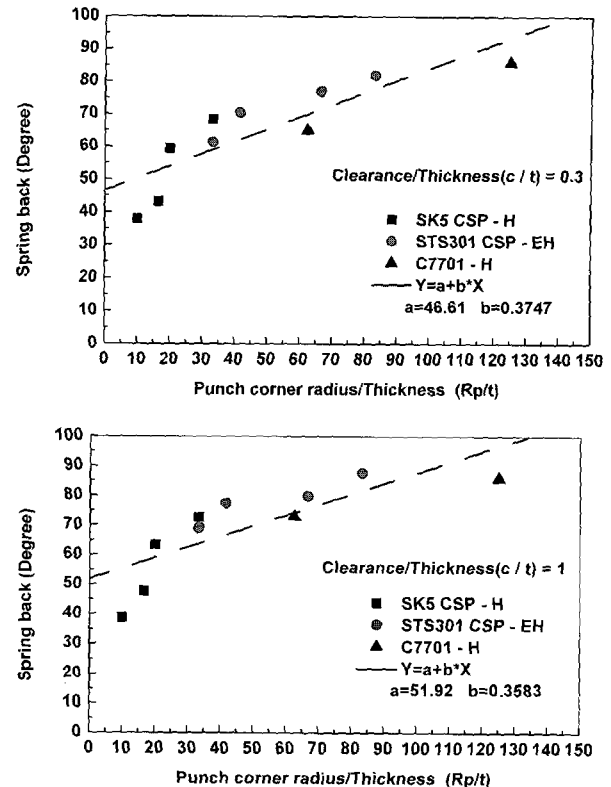


Fig. 12 The relation between Spring back(degree) and punch corner radius/thickness (Rp/t) of spring materials

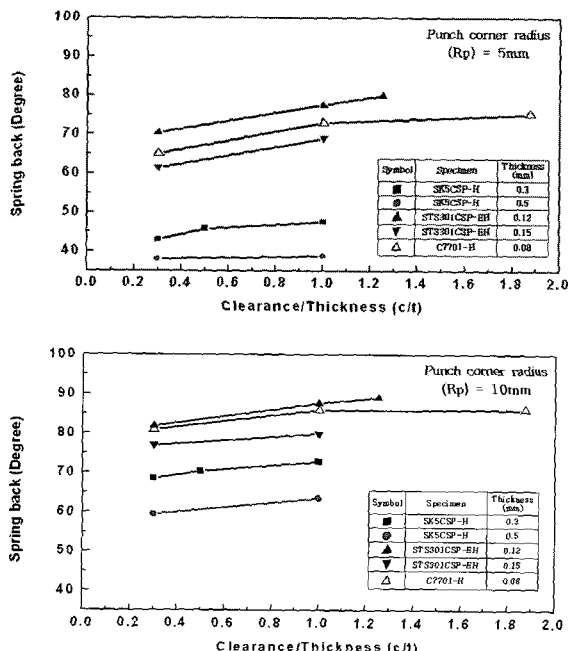


Fig. 11 The relation between Spring back(degree) and clearance/thickness(C/t) of spring materials

4. 결론

대표적인 박판스프링용 재료의 기계적 특성 및 금형성 평가 결과 다음의 결론을 얻었다.

(1) SK5 CSP-H 재는 템퍼드-마르텐사이트 기지에 백색 탄화물조직이, STS301 CSP-EH 재는 오스테나이트 조직이 매우 치밀하고, 집합조직내에 많은 슬립발생에 의한 쌍성조직을, C7701-H 재는 풀립쌍정이 α 결정입자에 발생한 다결정조직과 슬립밴드가 관찰되었다.

(2) SK5 CSP-H 재의 경도값(Hv)은 473.9~489.4의 범위에서, STS301 CSP-EH 재의 경도값(Hv)은 518.1~522.5의 범위에서, C7701-H 재의 경도값(Hv)은 210.7을 갖는다.

(3) SK5 CSP-H 재의 인장강도 및 항복강도는 각각 167.5kgf/mm² 및 148.5kgf/mm², 연신율은 7.9%이고, STS301 CSP-EH 재의 인장강도 및 항복강도는 각각 177.4~183.1kgf/mm² 및 176.2~181.6kgf/mm², 연신율

은 약 3.0~3.4%, C7701-H 재의 인장강도 및 항복 강도는 각각 69.4kgf/mm² 및 68.7kgf/mm², 연신율은 2.1% 이다.

(4) 굽힘 실험결과 굽힘 하중은 편치어깨 반경 (Rp)과 틈새비(C/t)가 클수록 저하하는 경향을 갖으나, 이 현상은 시험편 두께가 큰 SK5 CSP-H재의 틈새비(C/t)가 0.3인 아이어닝 굽힘시험 조건에서 매우 크게 나타나며, 시험편 두께가 0.15mm이 하인 STS301 CSP-EH재 및 C7701-H재의 경우에는 동일 (Rp) 조건에서 (C/t)가 0.3에서 1.25 및 1.875로 크게 증가하여도 굽힘하중은 큰 변화가 나타나지 않는다.

(5) 굽힘성형성의 척도인 스프링백 량은 동일한 재질과 동일한 (Rp)의 조건에서도 두께가 얇을수록, 틈새비(C/t)가 클수록 증가함을 볼 수 있었고, 스프링백량은 시험재료 모두 편치어깨 반경비 (Rp/t)가 클수록 증가한다.

또한 틈새비(C/t)가 0.3 및 1.0 인 조건에서의 박판스프링용 소재에 대한 스프링백 량과 편치어깨 반경비(Rp/t)의 관계식을 각각 얻을 수 있었다.

참 고 문 헌

- [1] ばね技術研究會, 2000, ばね技術シリーズ ばね用材料とその特性, 日刊工業新聞社, 東京, pp. 28~33.
- [2] 田中良平, 1994, JIS 使い方シリーズ ステンレス鋼の選び方·使い方, 日本規格協会, pp. 129~146, pp. 210~215.
- [3] ばね技術研究會, 1998, ばね技術シリーズ ばねの種類と用途例“, 日刊工業新聞社, 東京, pp. 28~33.

- [4] 한국공업규격, 1993, KS D 5202 : 스프링용 베릴륨동, 티타늄동, 인청동 및 양백의 판 및 띠.
- [5] 薄板 ばね强度委員會, 薄板 ばねの特性平価法に關する 研究, ばね論文集, Vol. 31, pp. 76~102.
- [6] 2001. 3, 細線 · 薄板疲勞特性かデータ集, ばね技術研究會, 細線 · 薄板疲勞特性研究會, p. 3, p. 7, pp. 20~23, p. 27, pp. 49~51.
- [7] 薄板 ばね曲げ加工共同研究所委員會, 薄板 ばね用鋼の曲げ加工性に關する共同研究, ばね論文集, Vol. 20, pp. 93~111.
- [8] 김용환, 김태우, 이영선, 이정환, 2004, 고강도 TRIP 강의 스프링백에 대한 연구, 한국소성가 공학회지, 제 13 권 제 5 호, pp. 409~414.
- [9] 신장모, 장성호, 허영무, 서대교, 2002, 용접판 재의 U-벤딩시 스프링백 특성에 관한 실험적 연구, 한국소성가공학회 춘계학술대회논문집, pp. 48~53.
- [10] 양동열, 이상숙, 윤정환, 유동진, 1999, 박판성형에서의 스프링백 해석과 산업적응·용, 한국소성가공학회지, 제 8 권 제 1 호, pp. 24~28.
- [11] 한국공업규격, 1998, KS B 5540 : 마이크로 경도시험 방법.
- [12] 김세환, 2004, 도해 프레스 금형설계 데이터북, 도서출판 대광서림, pp. 1-25~47, p. 3-11, pp. 3-44~45.
- [13] 프레스가공데이터북편집위원회, 1998, 프레스 가공데이터북, 도서출판기술, pp. 142~161.
- [14] 한국공업규격, 1999, KS D 3597 : 스프링용 냉간압연강대.
- [15] 한국공업규격, 2002, KS D 3534 : 스프링용 스테인리스강대.